

دربافت مقاله: ۹۲/۱۱/۱۵

پذیرش مقاله: ۹۳/۷/۵

## طراحی کنترل کننده فازی مود لغزشی برای پارک هوشمند اتومبیل

علیرضا فرجی<sup>۱\*</sup>، ملیحه آبانی آرانی<sup>۲</sup>

<sup>۱</sup> استادیار، دانشکده مهندسی برق و کامپیوتر، دانشگاه کاشان، کاشان، ایران

arfaraji@kashanu.ac.ir

<sup>۲</sup> کارشناسی ارشد برق، کنترل، دانشکده مهندسی برق و کامپیوتر، دانشگاه کاشان، کاشان، ایران

m\_abaniaranii@yahoo.com

چکیده: امروزه اتومبیل‌های پیشرفته، مجهر به سیستم پارک هوشمند هستند و به تدریج، سایر اتومبیل‌ها نیز به این سیستم مجهر خواهند شد. تاکنون روش‌های متعددی برای پارک هوشمند اتومبیل از جمله کنترل کننده‌های فازی ارائه شده است. کنترل کننده‌های فازی ارائه شده علی‌رغم سادگی و سرعت محاسبات، از پایداری و عملکرد مطلوب برای این سیستم برخوردار نبوده است. لذا در این مقاله، کنترل کننده فازی مود لغزشی زمان گسسته برای افزایش پایداری و بهبود عملکرد و رفتار مقاوم در پارک دوبل و ال اتومبیل طراحی شده است. با ارزیابی نتایج حاصل از شبیه‌سازی در محیط نرم‌افزار متلب نشان داده شده که خواسته‌های مذکور به نحو مطلوب برآورده شده است.

واژه‌های کلیدی: پارک هوشمند اتومبیل، کنترل کننده فازی، کنترل فازی مود لغزشی، زمان گسسته.



عصی پاسخ‌ها بهبود یابند که در آن، کنترل کننده فازی عصبی برای پارک دوبل، روی مسیری با معادله مرتبه پنج با دو ورودی زاویه اتومبیل و فاصله آن تا مانع و خروجی زاویه فرمان، مبنی بر نمونه برداری در هزار نقطه طراحی شد [۸]. علاوه بر پارک ال و پارک دوبل در مکانی خاص، انتخاب مکان پارک با مسیر حرکت نیز در برخی موارد مطرح شده است. در [۹] روشی برای مکان‌یابی پارک اتومبیل از بین چند مکان خالی جهت پارک ارائه شده است. انتخاب بهترین مسیر برای پارک اتومبیل در یک مکان خاص به وسیله کنترل کننده فازی در مرجع [۱۰] بحث و فرض شده که ابعاد پارکینگ محدودیتی برای پارک ایجاد نمی‌کند و تمامی مسیرهای ممکن برای انجام پارک در دسترس است.

طراحی کنترل کننده فازی جهت پارک هوشمند کامیون که مدل پیچیده‌تری نسبت به اتومبیل دارد، در [۱۱] مورد بررسی قرار گرفته است. مرجع [۱۲] برای تست عملی بودن کنترل کننده فازی طراحی شده روی اتومبیل، آن را روی اتومبیل مدل پیاده‌سازی کرده است. وجود مقالات متعدد در طراحی کنترل کننده فازی برای پارک انواع اتومبیل، نشان‌دهنده کارایی نسبتاً مؤثر این کنترل کننده و زمینه بهبود آن در ترکیب با سایر روش‌هاست.

در سال‌های اخیر، کنترل کننده فازی در ترکیب با مود لغزشی در مقالات متعددی، مورد توجه قرار گرفته است. مقاله [۱۳] این کنترل کننده را برای سیستم ناپایدار غیرخطی تک‌وروپی تک‌خرجی به کار گرفته است. همچنین، کنترل بازوی ربات موایزی پنوماتیکی با کنترل کننده فازی مود لغزشی در [۱۴] طراحی شده است. نتایج مطلوب کنترل کننده فازی مود لغزشی در کنترل سیستم‌های غیرخطی ناپایدار و نیز ربات موایزی نشان‌دهنده این است که دریافت نتایج مطلوب از این روش، برای پارک اتومبیل نیز مقدور است. نوآوری این مقاله طراحی یک کنترل کننده فازی مود لغزشی در حوزه زمان گسسته برای هر دو نوع پارک ال و دوبل اتومبیل با مدلی ساده و کارآمد و محاسباتی سریع است.

## ۱. مقدمه

در سال‌های اخیر مسئله پارک خودکار اتومبیل توجه زیادی از کارخانه‌های ماشین‌سازی را جلب کرده است. در این بین پارک ال<sup>۱</sup> و پارک دوبل<sup>۲</sup> اهمیت بیشتری دارند. مسئله پارک ال هوشمند از سال ۱۹۸۴ به کمک طراحی کنترل کننده فازی مورد بررسی قرار گرفت. هرچند تعداد قانون‌های فازی کمی مورد استفاده قرار گرفته، نتیجه کار دارای خطای زیادی بود [۱]. سپس سایر روش‌ها با کنترل فازی ترکیب و نتایج پارک ال بهبود داده شد. از جمله این اقدامات می‌توان به موارد زیر اشاره کرد:

در سال ۱۹۹۴، کنترل کننده فازی پیش‌بین برای پارک اتومبیل ارائه شد و خطای موقعیت و خطای زاویه اتومبیل دو ورودی کنترل کننده بود که نتایج نسبتاً مطلوبی داشت [۲]. در سال ۱۹۹۵، این مسئله با استفاده از طراحی کنترل کننده فازی عصبی مورد بررسی قرار گرفت [۳]. پس از آن با استفاده از بهینه‌سازی چند‌هدفه سعی شد که پاسخ این مسئله بهبود یابد؛ بنابراین در آن، قوانین کنترل فرمان ماشین به صورت روابط ریاضی نوشته شده و با بهینه‌سازی، توابع عضویت مناسب به دست آمده‌اند [۴].

مسئله پارک دوبل نیز از سال ۱۹۹۸ مورد توجه قرار گرفت و به موازات پارک ال، با روش‌های متفاوت توسعه یافته. از جمله می‌توان به برخی از این موارد اشاره کرد.

در [۵] طراحی کنترل کننده فازی با استفاده از الگوریتم رنگیک برای پارک هوشمند اتومبیل در سال ۱۹۹۸ انجام گرفت تا اتومبیل بتواند به صورت خودکار مسیر تعريف‌شده را طی کند. در [۶] کنترل کننده فازی با چهار ورودی طراحی شده است که مشخصات مکانی اتومبیل در هر لحظه به کنترل کننده وارد می‌شود و دو خروجی زاویه فرمان و سرعت اتومبیل کنترل می‌شوند. پس از آن، طراحی کنترل کننده فازی عصبی برای پارک هوشمند دوبل در سال ۲۰۰۹ انجام شد [۷]. سپس با انجام تغییراتی سعی شد با استفاده از کنترل کننده فازی

1. Garage parking

2. Parallel parking

می‌تواند خود را با تغییرات زاویه فرمان و چرخ‌های جلو هماهنگ کند.

از سویی فرض می‌شود چون حداکثر تغییر زاویه فرمان در فاصله زمانی مذکور ۵ درجه است، امکان هم‌راستایی جهت اتومبیل با تغییر زاویه چرخ‌های جلو وجود دارد؛ از این رو، در نظر گرفتن مدل‌های غیرهولونومیک پیچیده، بهبود چندانی در پارک اتومبیل نخواهد داشت؛ بدین علت از مدل‌های پیچیده استفاده نشده است.

در این مقاله، منظور از موقعیت اتومبیل، حرکت مرکز چرخ‌های عقب  $(x_r, y_r)$  روی مسیر است و نقطه نهایی پارک در هر دو نوع پارک دوبل و ال، مبدأ مختصات  $(0, 0)$  است. در شیوه‌سازی فرض شده است که طول اتومبیل مدل ۰.۵ متر و ۷ سرعت پارک آن ۱.۰ متر بر ثانیه است و مکان مناسب و کافی برای پارک ال و دوبل موجود است.

در ادامه، ابتدا مدل اتومبیل و مسیر حرکت آن در پارک ال و دوبل معرفی و سپس، کنترل کننده فازی و فازی مود لغزشی طراحی شده و نتایج شبیه‌سازی آن در نرم‌افزار متلب با یکدیگر مقایسه شده است.

## ۲. مدل سینماتیکی اتومبیل

در این مقاله، از مدل سینماتیکی غیرهولونومیک اتومبیل در مراجع [۸] و [۱۶] استفاده شده است. پارامترهای مربوط به

مدل در شکل ۱ عبارت‌اند از:

$(x_f, y_f)$  موقعیت مرکز چرخ‌های جلوی اتومبیل

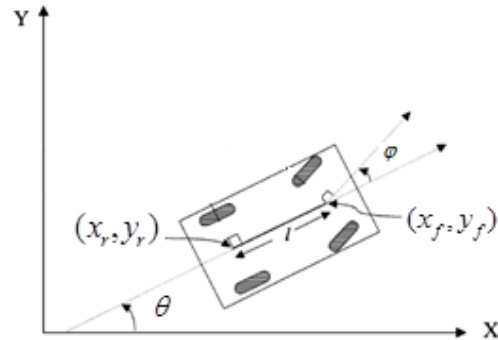
$(x_r, y_r)$  موقعیت مرکز چرخ‌های عقب اتومبیل

$\varphi$  زاویه فرمان اتومبیل نسبت به جهت اتومبیل

$\theta$  زاویه بین اتومبیل و محور  $X$

$l$  فاصله بین مرکز چرخ‌های جلو و عقب اتومبیل

$v$  سرعت اتومبیل



شکل (۱): مدل سینماتیکی اتومبیل

$$\begin{aligned} \dot{x}_f &= v \cos(\theta + \varphi) \\ \dot{y}_f &= v \sin(\theta + \varphi) \\ x_r &= x_f - l \cos(\theta) \\ y_r &= y_f - l \sin(\theta) \end{aligned} \quad (1)$$

در این مقاله، موارد زیر فرض شده است:

- چرخ‌ها لغزش ندارند؛

- کنترل کننده به صورت گسسته و هر ۰.۵ ثانیه یکبار عمل می‌کند؛

- حداکثر تغییر زاویه فرمان  $\Delta\varphi$  در فاصله زمانی فوق ۵ درجه است. در این فاصله زمانی، اتومبیل با سرعت  $v$

## ۳. مسیر حرکت در پارک دوبل

پارک دوبل اتومبیل با حرکت به عقب در شکل ۲ و ۳ نشان داده شده است که در آن  $(x_e, y_e)$  موقعیت اولیه مرکز چرخ‌های عقب اتومبیل و مبدأ موقعیت نهایی آن در محل پارک می‌باشد. برای اینکه پارک اتومبیل با دقت مطلوب انجام بگیرد، باید مسیر مناسبی انتخاب گردد؛ لذا مسیر مرتبه پنجم به فرم معادله (۲) ذیل برای حرکت مرکز چرخ‌های عقب روی آن انتخاب می‌شود. [۸]

$$y_r(x_r) = a_5 \left( \frac{x_r}{x_e} \right)^5 + a_4 \left( \frac{x_r}{x_e} \right)^4 + a_3 \left( \frac{x_r}{x_e} \right)^3 + a_2 \left( \frac{x_r}{x_e} \right)^2 + a_1 \left( \frac{x_r}{x_e} \right) + a_0 \quad (2)$$

$$a_2 \left( \frac{x_r}{x_e} \right)^2 + a_1 \left( \frac{x_r}{x_e} \right) + a_0$$

ضرایب ثابتی هستند که با توجه به شرایط اولیه و مشتق مرتبه اول و مرتبه دوم معادله (۲) به دست می‌آیند. شرایط اولیه عبارت‌اند از:

شکل ۴ مسیر حرکت مرکز چرخ‌های عقب اتومبیل مدل برای پارک ال را نشان می‌دهد [۱۶]. مختصات نقاط شکل ۴ در جدول ۱ آورده شده‌اند. فرض بر این است که ابتدا اتومبیل روی خط مستقیم به عقب می‌آید و سپس روی یک ربع دایره به مرکز  $(x_o, y_o)$  و شعاع  $x_o$  مطابق معادله (۵) حرکت می‌کند و در انتهای روی یک خط مستقیم به حرکت خود ادامه می‌دهد تا به نقطهٔ پایان که مبدأ است، برسد.

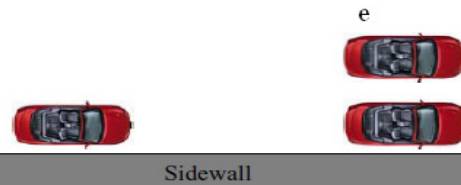
$$(x_r - x_e)^2 + (y_r - y_e)^2 = (x_o)^2 \quad (5)$$

جدول (۱): نقاط مشخص شده در شکل (۴)		
توضیح	مختصات	نقطه
موقعیت اولیه اتومبیل مدل	$(x_e, y_e)$	E
نقطهٔ شروع پارک ال روی ربع دایره	$(x_o, y_e)$	B
مرکز ربع دایره	$(x_o, y_o)$	C
نقطهٔ پایان ربع دایره	$(0, y_o)$	D
محل نهایی پارک ال (مبدأ)	$(0, 0)$	O

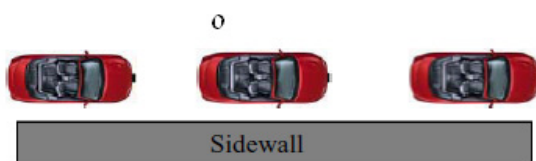
$$\begin{aligned} y_r(x_e) &= y_e \\ y'_r(x_e) &= y''_r(x_e) = 0 \\ y_r(0) &= y'_r(0) = y''_r(0) = 0 \end{aligned} \quad (3)$$

که  $y_r' = \frac{dy_r}{dx_r}$  و  $y_r'' = \frac{d^2y_r}{dx_r^2}$  می‌باشد.

از معادلات فوق، معادلهٔ مسیر حرکت به صورت رابطه (۴)، به دست می‌آید که وابسته به نقطهٔ شروع حرکت است.



شکل (۲): موقعیت اولیه اتومبیل در پارک دوبل

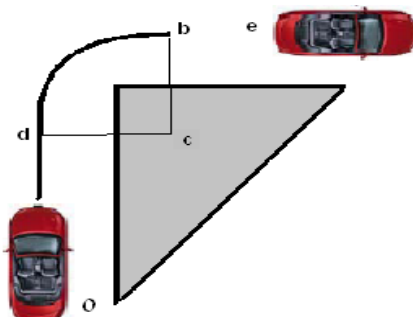


شکل (۳): موقعیت نهایی اتومبیل در پارک دوبل

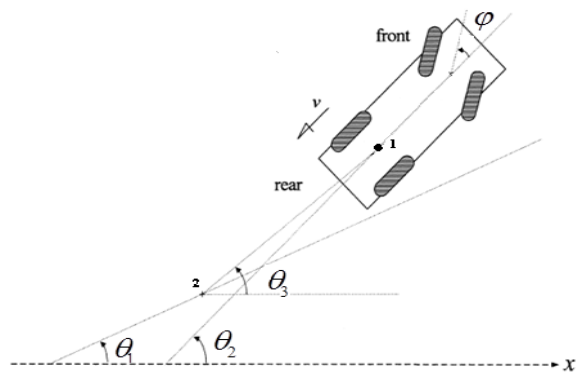
## ۵. طراحی کنترل کننده فازی

همان‌گونه که در شکل ۵ دیده می‌شود اتومبیل مدل در هر بازه زمانی  $0.5$  ثانیه باید از نقطه (۱) مسیر حرکت، به نقطه (۲) منتقل شود. این کار تا پارک اتومبیل، به‌طور مداوم تکرار خواهد شد. زاویه اتومبیل در نقاط (۱) و (۲) نسبت به محور افقی به ترتیب  $\theta_1, \theta_2$  می‌باشد و  $\theta_3$  زاویه‌ای است که از اتصال نقطهٔ شروع و نقطهٔ مطلوب نسبت به محور افقی به دست می‌آید.

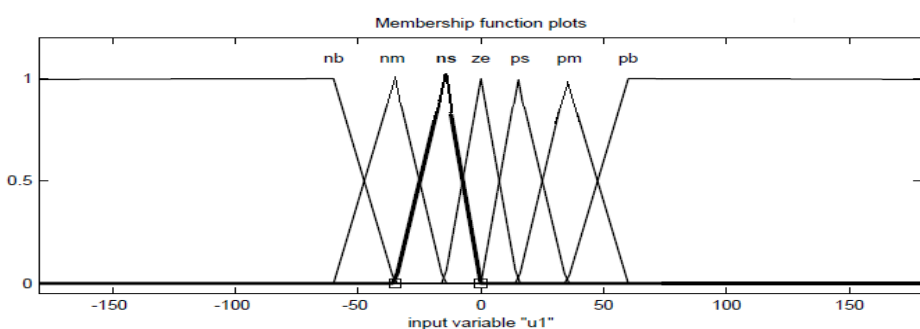
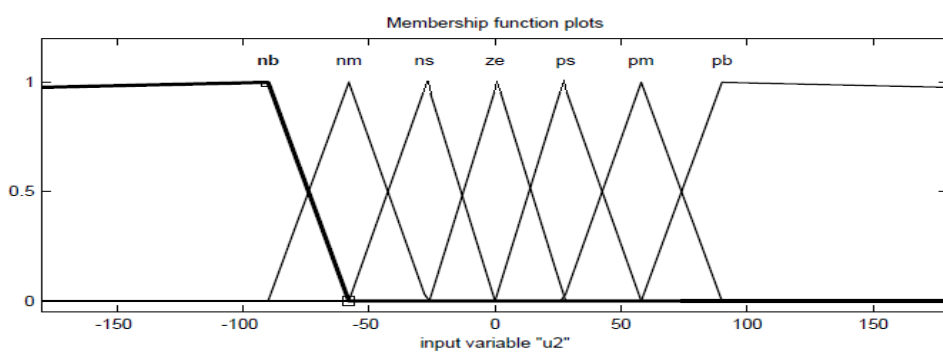
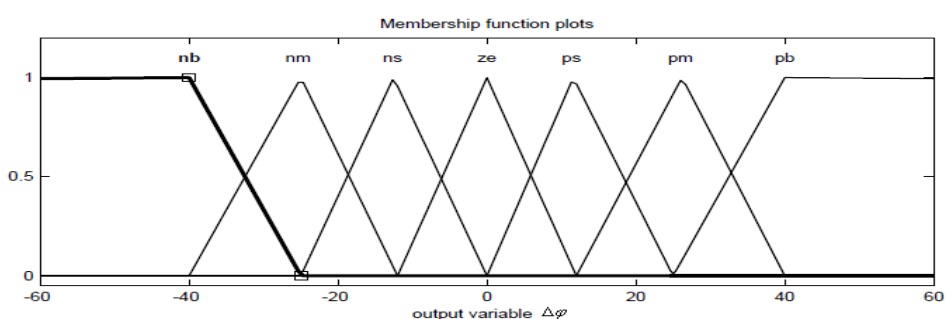
در طراحی کنترل کننده فازی دو متغیر  $\theta_1$  و  $\theta_2 = \theta_1 - \theta_2$  به عنوان ورودی و  $\Delta\varphi$  تغییرات زاویه فرمان به عنوان خروجی کنترل کننده در نظر گرفته شده است. شکل‌های ۷ و ۸ به ترتیب توابع عضویت ورودی‌های  $u_1$  و  $u_2$  و خروجی کنترل کننده فازی  $\Delta\varphi$  را نشان می‌دهند.



شکل (۴): مسیر حرکت پارک ال دندنه عقب

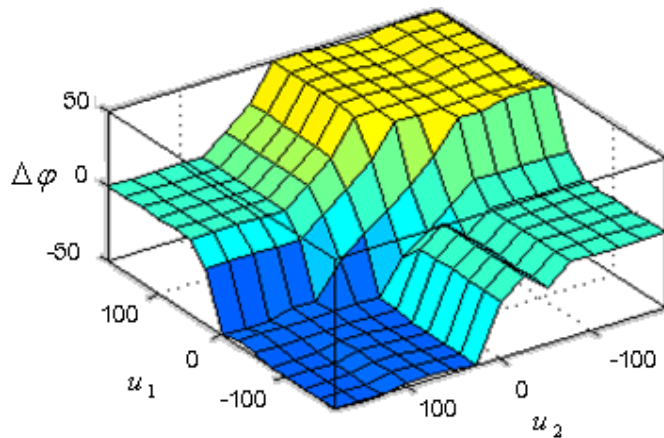


شکل (۵): زوایای مسیر حرکت اتومبیل در حرکت به عقب

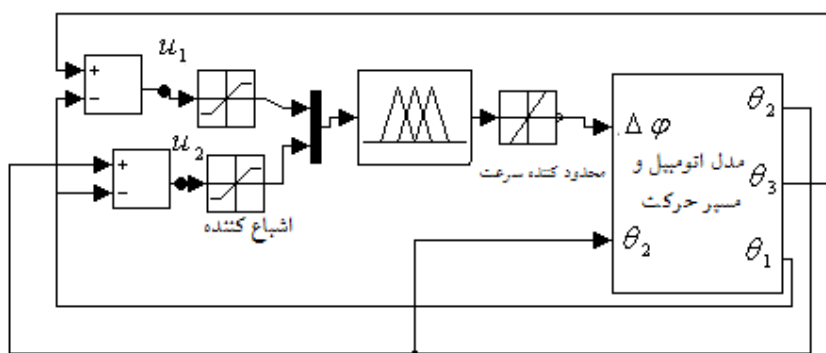
شکل (۶): نمودار توابع عضویت ورودی  $u_1$  کنترل کننده فازیشکل (۷): نمودار توابع عضویت ورودی  $u_2$  کنترل کننده فازیشکل (۸): نمودار توابع عضویت خروجی  $\Delta\varphi$  کنترل کننده فازی

جدول (۲): قوایین کنترل کننده فازی

$u_2 \backslash u_1$	nb	nm	ns	ze	ps	pm	pb
nb	ze	ns	ze	ns	nb	nb	nb
nm	ps	ze	ns	nm	nb	nb	nb
ns	pm	ps	ze	ns	nm	nb	nb
ze	pb	pm	ps	ze	ns	nm	nb
ps	pb	pb	ps	ps	ze	ns	nm
pm	pb	pb	pb	pm	ps	ze	ns
pb	pb	pb	pb	pb	pm	ps	ze



شکل (۹): صفحه فازی کنترل کننده فازی پارک اتومبیل



شکل (۱۰): بلوك شبیه‌سازی شده کنترل کننده فازی با ورودی اشباع شونده و خروجی محدود کننده سرعت

مدل اتومبیل در شکل ۱۱ را نشان می‌دهد که با استفاده از معادلات (۱) نوشه شده و متغیرهای آن بهوسیله بلوک تأخیر  $z/1$  با مقدار  $0.5$  ثانیه گسته شده‌اند.

مقادیر اولیه مکان اتومبیل و زاویه آن نسبت به محور افقی در شروع عملیات پارک به این زیرسیستم داده می‌شود و در هر بازه زمانی  $0.5$  ثانیه مقادیر جدید آن‌ها محاسبه می‌شوند. مسیر حرکت در شکل ۱۱، همان مسیر حرکت پارک دوبل و ال است که معادلات آن در (۴) و (۵) بیان شده است.

عمل پارک از یک نقطه مختصات اولیه دلخواه شروع می‌شود. در این مقاله، مختصات اولیه  $(0, 0)$  برای پارک دوبل و مختصات  $(2, 0)$  برای پارک ال و مقدار اولیه هر دو زاویه  $\varphi$  و  $\theta_2$  برابر صفر در نظر گرفته شده است.

مسیر طی شده در پارک دوبل و ال توسط مرکز چرخ‌های عقب اتومبیل مدل با کنترل‌کننده فازی در تصاویر ۱۳ و ۱۵ و تغییرات زاویه فرمان آن نسبت به محور زمان نیز در شکل‌های ۱۴ و ۱۶ آورده شده است. مشاهده می‌شود که حداکثر تغییرات زاویه در هر بازه زمانی، نیم ثانیه معادل  $5$  درجه است.

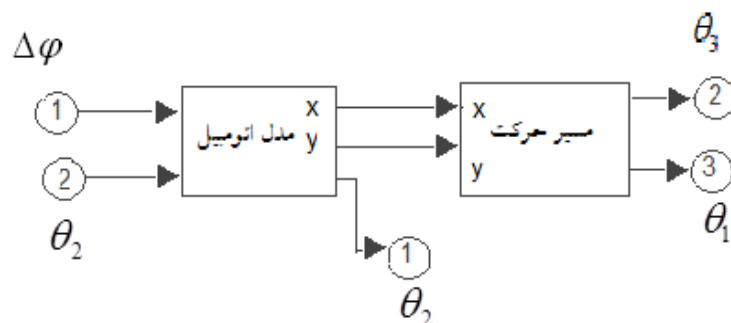
با توجه به شکل‌های ۱۳ و ۱۵ که پارک دوبل و ال را در سیستم با کنترل‌کننده فازی نشان می‌دهد، مشاهده می‌شود که اتومبیل با خطای کمی پارک را انجام می‌دهد؛ ولی مسیر طی شده علی‌رغم تلاش‌های فراوان جهت تنظیم قوانین کنترل‌کننده فازی چندان مطلوب نیست.

محدوده توابع عضویت براساس میزان تغییراتی که ورودی‌ها و خروجی می‌توانند داشته باشند، انتخاب شده است. برای به‌دست آوردن نتیجه مطلوب، قوانین فازی براساس سمعی و خطأ و پس از صرف زمان زیاد به‌دست آورده شده است. قوانین فازی در جدول ۲ خلاصه شده‌اند. حروف  $n$  و  $p$  در جدول به ترتیب به معنی positive و negative و همچنین حروف  $s$  و  $m$  و  $b$  به ترتیب به معنی small و medium و big است. در ضمن، شکل ۹ صفحه فازی کنترل‌کننده فازی مورد نظر یعنی تغییرات خروجی  $\varphi$  نسبت به دو ورودی  $u_1$  و  $u_2$  را نشان می‌دهد.

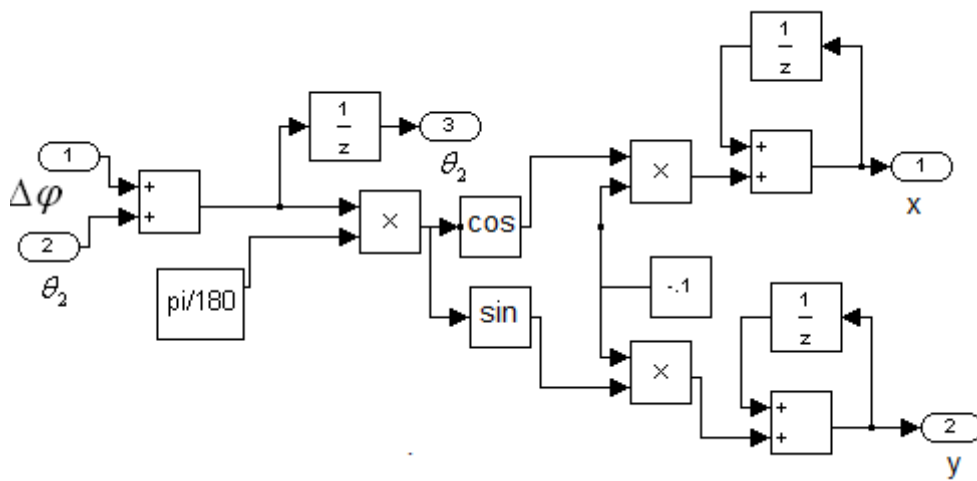
## ۶. شبیه‌سازی سیستم

شکل ۱۰ بلوک شبیه‌سازی شده کنترل‌کننده فازی با ورودی‌های  $u_1 = \theta_3 - \theta_1$  و  $u_2 = \theta_2 - \theta_1$  و خروجی تغییرات زاویه فرمان  $\varphi$  را نشان می‌دهد. برای اینکه ورودی‌های کنترل‌کننده در محدوده تغییرات ورودی‌های شکل‌های ۶ و ۷ تعریف شوند، از بلوک اشباع‌کننده استفاده شده است. چون در عمل، سرعت تغییرات زاویه فرمان توسط راننده محدود است، از بلوک محدودکننده سرعت تغییرات زاویه فرمان در خروجی استفاده شده است.

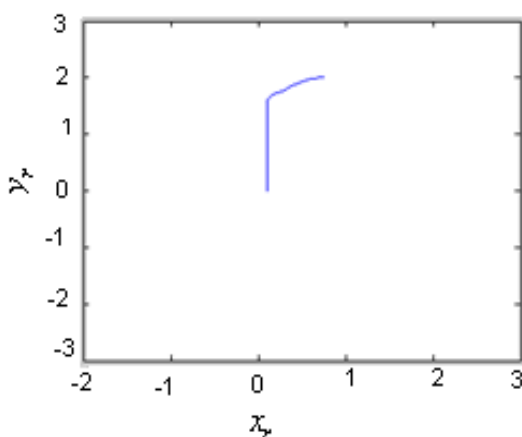
شکل ۱۱ محتوای بلوک زیرسیستم مدل اتومبیل و مسیر حرکت در شکل ۱۰ را نشان می‌دهد. شکل ۱۲ نیز جزئیات



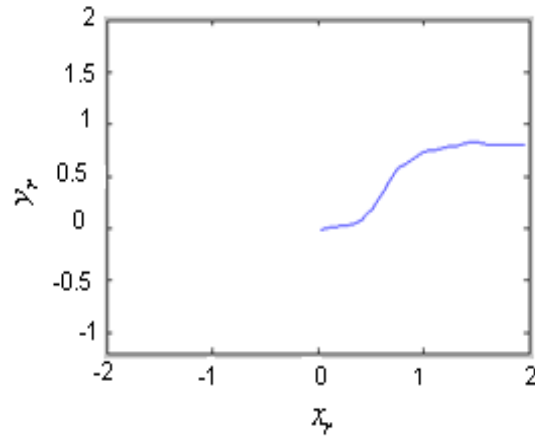
شکل (۱۱): زیرسیستم مدل اتومبیل و مسیر حرکت



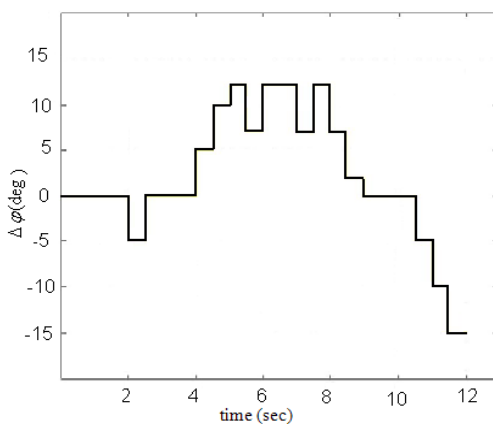
شکل (۱۲): زیرسیستم مدل اتومبیل با متغیرهای گسترش شده



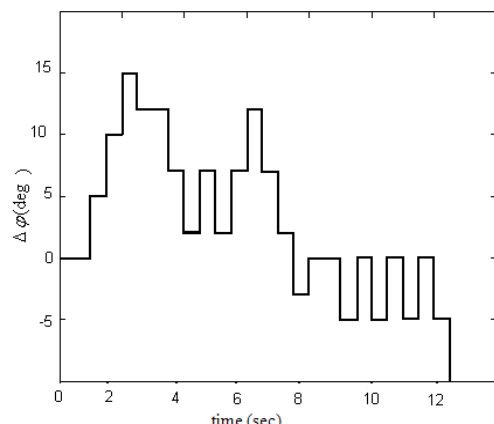
شکل (۱۵): مسیر پارک ال فازی



شکل (۱۳): مسیر پارک دوبل فازی



شکل (۱۶): تغییرات  $\Delta\varphi$  در هر نیم ثانیه در پارک ال فازی

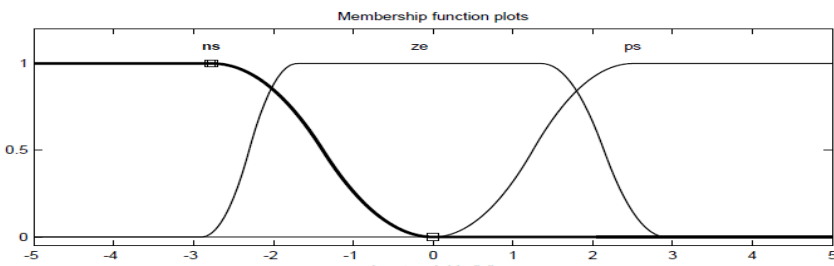


شکل (۱۴): تغییرات  $\Delta\varphi$  در هر نیم ثانیه در پارک دوبل فازی

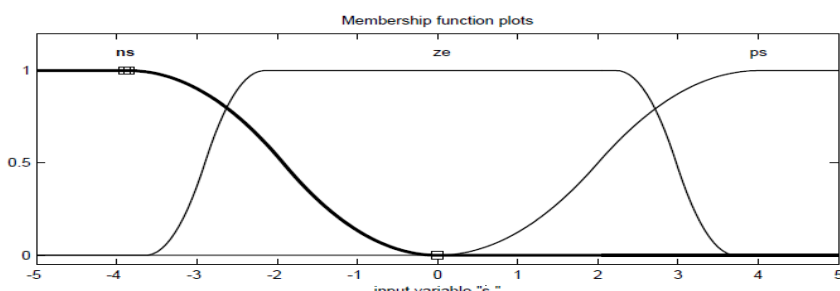
شکل توابع عضویت به گونه‌ای انتخاب شده که با وجود کاهش تعداد قوانین، زاویه فرمان پرش نکند و تغییرات ناگهانی نداشته باشد. ملاحظه می‌شود که در کنترل‌کننده فازی مود لغزشی نسبت به کنترل‌کننده فازی، توابع عضویت ورودی‌ها کاهش چشمگیری داشته و موجب کاهش تعداد قوانین نیز شده است. قوانین فازی مود لغزشی در جدول ۳ خلاصه شده است. چون در کنترل‌کننده مود لغزشی  $S\dot{S}$  است، کنترل‌کننده فازی مود لغزشی پایداری ذاتی داشته و با توجه به این رابطه مذکور، نوشتن قوانین آن روشمند بوده و آسان است [۱۷].

## ۷. طراحی کنترل‌کننده فازی مود لغزشی

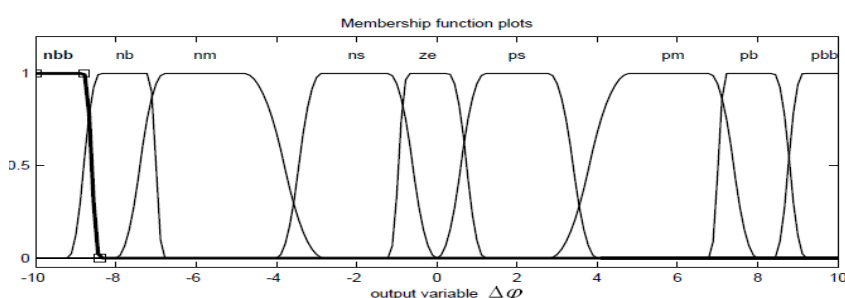
برای کنترل سیستم حلقه بسته در پارک اتومبیل مدل از مسیر لغزش  $S = \theta_2 - \theta_3$  استفاده شده است. برای اینکه اتومبیل روی مسیر مطلوب هدایت شود، باید  $S \approx 0$  و برای تضمین پایداری سیستم، باید  $0 \leq S\dot{S}$  باشد. براساس همین شرایط، قوانین فازی طوری طراحی شده‌اند که در آن، مسیر لغزش  $S$  و مشتق آن  $\dot{S}$  ورودی‌های کنترل‌کننده فازی مود لغزشی و تغییرات زاویه فرمان اتومبیل  $\varphi$  خروجی کنترل‌کننده باشد. توابع عضویت ورودی‌ها و خروجی کنترل‌کننده فازی مود لغزشی در شکل‌های ۱۷، ۱۸ و ۱۹ مشاهده می‌شود.



شکل (۱۷): توابع عضویت ورودی  $S$  کنترل‌کننده فازی مود لغزشی



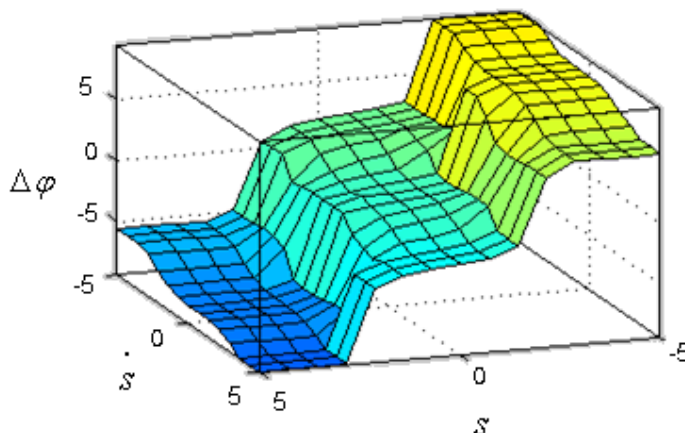
شکل (۱۸): توابع عضویت ورودی  $\dot{S}$  کنترل‌کننده فازی مود لغزشی



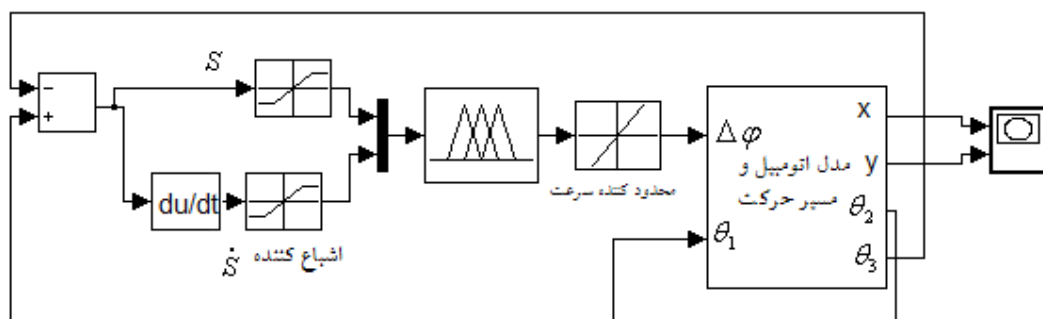
شکل (۱۹): توابع عضویت خروجی  $\Delta\varphi$  کنترل‌کننده فازی مود لغزشی

جدول (۳): قوانین کنترل کننده فازی مود لغزشی

$S$	$\dot{S}$	ns	ze	ps
ns	pbb	pb	pm	
ze	ps	ze	ns	
ps	nm	nb	nbb	



شکل (۲۰): صفحه فازی کنترل کننده فازی مود لغزشی

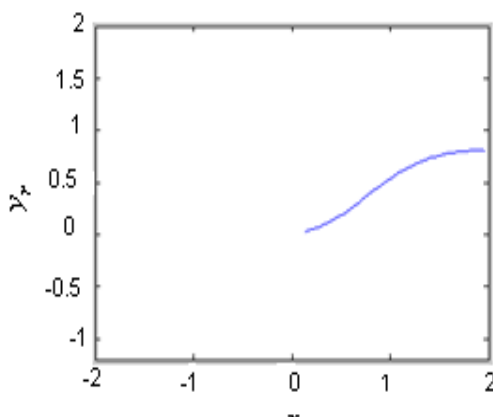


شکل (۲۱): بلوک شبیه‌سازی شده کنترل کننده فازی مود لغزشی با ورودی‌های اشباع‌شونده و خروجی محدود کننده سرعت

نوشتمن قوانین فازی مود لغزشی نسبت به کنترل کننده فازی مود لغزشی روشمند است، ساده‌تر و آسان‌تر است. به علاوه با کاهش تعداد توابع عضویت، تعداد قوانین به طور چشمگیر کاهش می‌یابد و نوشتمن قوانین را ساده‌تر می‌کند. همان‌طور که در شکل ۲۱ مشخص است، ورودی‌های کنترل کننده  $S$  و  $\dot{S}$  و خروجی کنترل کننده تغییرات زاویه فرمان اتومبیل  $\Delta\varphi$  است.

مطابق شکل ۲۰ که صفحه فازی کنترل کننده فازی مود لغزشی می‌باشد، علی‌رغم کاهش تعداد قوانین، تغییرات زاویه فرمان نسبت به تغییر ورودی حساسیت بهتر و توزیع مطلوب‌تری داشته است و نیز به دلیل آنکه در کنترل کننده فازی مود لغزشی ورودی‌های کنترل کننده، خطأ و تغییرات آن هستند تحلیل صفحه فازی آن بدون داشتن دانش در مورد سیستم امکان‌پذیر است.

نتایج نشان می‌دهد کنترل‌کننده فازی مود لغزشی در مقابل تغییر پارامترها و شرایط اولیه سیستم مقاوم است، درحالی‌که رفتار کنترل‌کننده فازی در همان شرایط نامطلوب است.



شکل (۲۲): مسیر پارک دوبل فازی مود لغزشی

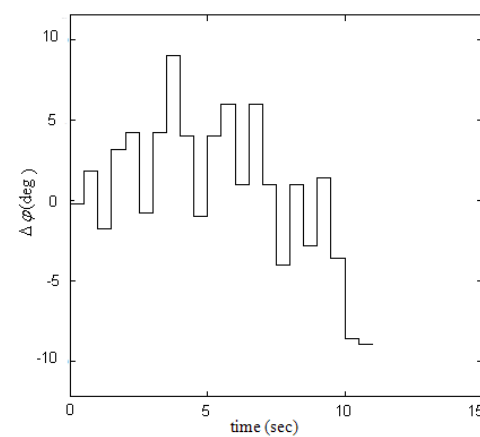
روابط مدل در شکل ۲۱، کاملاً شبیه به حالت سیستم با کنترل‌کننده فازی شکل ۱۰ است. در شکل ۲۱، ورودی‌های کنترل‌کننده با عبور از توابع اشباع که با سطوح اشباع مطابق محدوده شکل‌های ۱۷ و ۱۸ تعریف شده است، به کنترل‌کننده فازی مود لغزشی وارد می‌شود. خروجی کنترل‌کننده فازی نیز از یک محدود کننده سرعت تغییرات عبور داده می‌شود.

مختصات نقطه شروع حرکت اتومبیل در این سیستم، مشابه حالت با کنترل‌کننده فازی بوده و پاسخ شبیه‌سازی برای پارک دوبل و ال به ترتیب در تصاویر ۲۲ و ۲۴ آورده شده است. مشاهده می‌شود که مسیر طی شده توسط مرکز چرخ‌های عقب اتومبیل مدل، نسبت به کنترل‌کننده فازی، بهبود قابل ملاحظه‌ای پیدا کرده است. تغییرات زاویه فرمان نیز برای پارک دوبل و ال در شکل‌های ۲۳ و ۲۵ آمده که در هر بازه زمانی، ۰.۵ ثانیه حداقل ۵ درجه است.

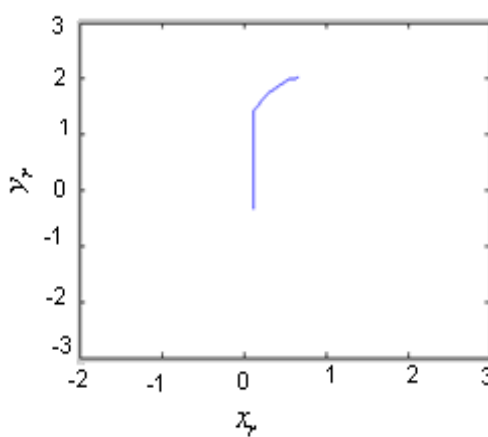
#### ۸. بررسی رفتار مقاوم بودن دو کنترل‌کننده

در این قسمت، مقاوم بودن رفتار سیستم در دو حالت کنترل‌کننده فازی و فازی مود لغزشی بررسی می‌شود. بدین منظور، تغییر در برخی شرایط اولیه و پارامترهای سیستم اعمال می‌شود. در شکل‌های ۲۶ و ۲۷ مسیر طی شده توسط اتومبیل مدل در پارک دوبل مشاهده می‌شود که با افزایش سرعت اتومبیل مدل، از ۰.۱ در حالات قبل به ۰.۲ شبیه‌سازی شده است. در شکل‌های ۲۸ و ۲۹ نیز مسیر پارک ال به ترتیب، با کنترل‌کننده فازی و فازی مود لغزشی، با تغییر زاویه اولیه از  $\theta_2 = 0$  در حالات قبل، به  $\theta_2 = 18$  شبیه‌سازی شده است.

همان‌طور که در شکل‌ها مشاهده می‌شود، در هر دو حالت، پاسخ کنترل‌کننده فازی مود لغزشی قابل قبول و پاسخ کنترل‌کننده فازی نامطلوب است. این کار با تغییر منطقی در سایر شرایط اولیه و پارامترهای سیستم نیز انجام شده است.

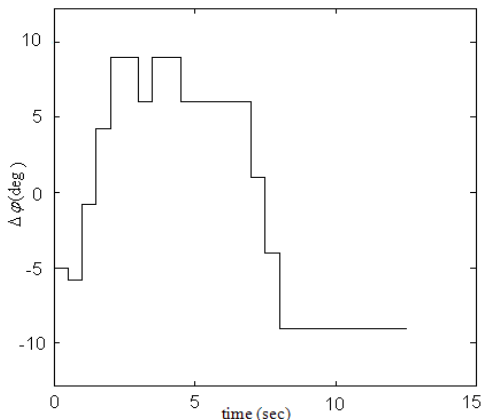


شکل (۲۳): تغییرات زاویه فرمان در پارک دوبل فازی مود لغزشی

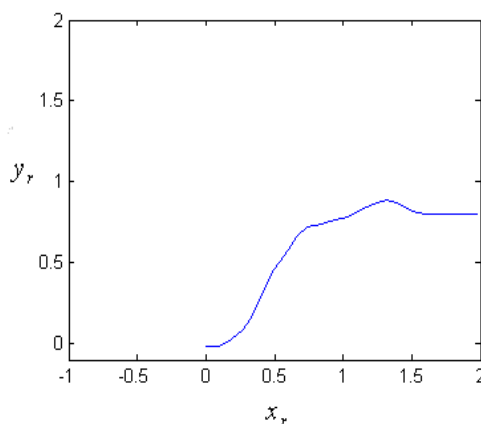


شکل (۲۴): مسیر پارک ال فازی مود لغزشی

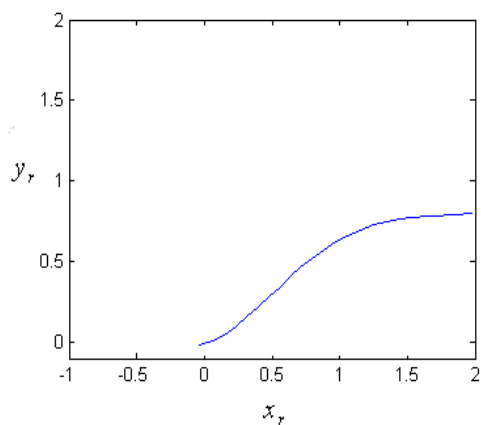
برابر تغییر پارامترها و شرایط سیستم را در دو نوع پارک هوشمند ال و دوبل اتومبیل برآورده سازد و سادگی آن، امکان پیاده‌سازی آسان و سریع آن را در آینده فراهم می‌کند.



شکل (۲۵): تغییرات زاویه فرمان در پارک ال فازی مود لغزشی



شکل (۲۶): مسیر پارک دوبل با کنترل فازی و تغییر سرعت اتومبیل



شکل (۲۷): مسیر پارک دوبل با فازی لغزشی و تغییر سرعت اتومبیل

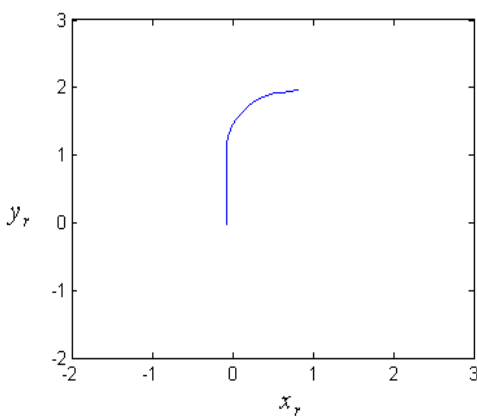
## ۹. نتیجه‌گیری

در این مقاله، ابتدا انواع مقالات پارک ال و دوبل اتومبیل با تمرکز بر کنترل کننده‌های فازی و ترکیب آن با سایر روش‌ها مرور شد. اگرچه نتایج عملکرد این کنترل کننده‌ها در اغلب موقع مطلوب است، اما برخی از روش‌های ارائه شده از ساختار و محاسبات نسبتاً پیچیده بهره برده‌اند و رفتار مقاوم آنها را در برابر تغییر شرایط و پارامترهای سیستم بررسی نکرده‌اند.

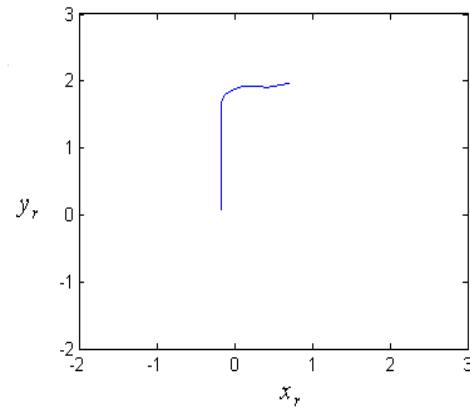
به علاوه نتایج برخی از مقالات که از کنترل کننده فازی مود لغزشی برای پایدارسازی و کنترل سیستم‌های ناپایدار و ربات‌های موازی استفاده کرده‌اند، نشان‌دهنده آن بود که این روش، توانمندی کنترل پارک هوشمند ماشین را نیز دارا خواهد بود. لذا این کنترل کننده برای پارک هوشمند اتومبیل به کار گرفته شد. طراحی این کنترل کننده در حوزه زمان گسته و در هر نیم ثانیه، امکان به کارگیری مدل سینماتیک ساده از اتومبیل را فراهم کرد. در ضمن، حجم محاسبات را نیز به شدت کاهش داد که این مسئله با ساختار ساده روش فازی تطبیق دارد.

چون کنترل کننده‌های لغزشی ذاتاً پایدار طراحی می‌شوند، کنترل کننده فازی مود لغزشی نیز ذاتاً پایدار است. در ضمن برخلاف کنترل کننده فازی که جدول قوانین آن اغلب به تجربه فرد خبره یا حدس و گمان و صرف وقت زیاد جهت تنظیم و بهبود عملکرد سیستم نیاز دارد، طراحی جدول قوانین کنترل کننده فازی مود لغزشی روشنمند بوده و به قوانین بسیار کمتر نیاز دارد و طراح را از تجربه فرد خبره یا صرف وقت زیاد بی‌نیاز می‌کند. عوامل پایداری ذاتی و قوانین روشنمند، زمینه رفتار مقاوم کنترل کننده مود لغزشی را فراهم می‌سازد.

نتایج شبیه‌سازی نشان داد که موتور استنتاج فازی مود لغزشی طراحی شده در زمان گسته با مدلی ساده و محاسبات اندک توانسته با امتیاز فراوان، نسبت به موتور استنتاج فازی تمامی خواسته‌های پایداری، عملکرد مطلوب و رفتار مقاوم در



شکل (۲۹): مسیر پارک ال با کنترل فازی لغزشی و تغییر زاویه اولیه



شکل (۳۰): مسیر پارک ال با کنترل فازی و تغییر زاویه اولیه

## مراجع

- [1] M. Sugeno., K. Marakani, "Fuzzy parking control of model car", The 23<sup>rd</sup> Conference on Decision And Control, pp. 902-904, 1984 .
- [2] S. Yasunobu, Y. Murai, "Parking control based on predictive fuzzy control", The 3<sup>rd</sup> IEEE Conference on Fuzzy Systems, Vol. 2, pp. 451–465, 1994.
- [3] W. Daxwanger, G. Schmidt, "Skill-based visual parking control using neural and fuzzy networks", IEEE International Conference on System, Man, Cybernetics, Vol. 2, pp. 4659-1664, 1995.
- [4] C.D.P. Flores, M. Angel., H. Gutierrez, R.A. Palomeras, "Fuzzy logic approach to Autonomous car parking using MATLAB", The 15<sup>th</sup> International Conference on Electronics, Communications and Computers, pp. 335-340, 2005.
- [5] D. Leitch., P. Probert, "New techniques for genetic development of a class of fuzzy controllers", IEEE Transactions on System, Man, and Cybernetics, Vol. 28, pp. 112–123, 1998.
- [6] J. Y. Lee., M. S. kim., J. lee., "Design of fuzzy controller for car parking problem using evolutionary multi-objective optimization approach", The IEEE International Conference on Industrial Electronics, pp. 329-334, 2006.
- [7] K. Demirli, M. Khoshnejad, "Autonomous parallel parking of a car-like mobile robot by a neuro-fuzzy sensor-based controller", Fuzzy Sets and Systems, Vol. 160, pp. 2876–2891, 2009.
- [8] Z. L. wang., C. Yang, "The design of an autonomous parallel parking neuro-fuzzy controller for a car-like mobile robot", The SICE Annual Conference, pp. 2593-2599, 2010.
- [9] M. Leo, T.Q. Kim, "Cell mapping based control of car parking", The IEEE International Conference on Robotics and Automation, pp. 2494-2499, 1998.
- [10] Z. Yanan, G. Emmanuel, Jr. Collins, "Robust automatic parallel parking in tight spaces via fuzzy logic", Robotics and Autonomous Systems, Elsevier, Vol. 51, No. 2-3, pp. 111-127, 2005.
- [11] N. Zimic, M. Mraz, "Decomposition of a complex fuzzy controller for the truck-and-trailer reverse parking problem", Mathematical and Computer Modeling, Elsevier, No. 5-6, Vol. 43, pp. 632-645, 2006.
- [12] T. Leephakpreeda, "Car-parking guidance with fuzzy knowledge-based decision making", Building and Environment, Elsevier, Vol. 42, No. 2, pp. 803-809 , 2007.
- [13] W. Chang, J. B. Park, Y. H. Joo, G. Chen, "Design of robust fuzzy-model-based controller with sliding mode control for SISO nonlinear systems", Fuzzy Sets and Systems, Elsevier, Vol. 125, No. 1, pp.1-22, 2000.

- [14] G.L. Shi, W. Shen, "*Hybrid control of a parallel platform based on pneumatic artificial muscles combining sliding mode controller and adaptive fuzzy CMAC*", Control Engineering Practice, Elsevier, Vol. 21, No. 1, pp. 76-86, 2013.
- [15] S. Yasunobu, Y. Yasuhito, "*Predictive fuzzy control and parking control*", The American Control Conference, pp. 2277-2281, 1995.
- [16] T, Seng., S, Li., "*Autonomous fuzzy parking control of car-like mobile robot*", IEEE transactions on System, Man, and Cybernetics, Part A: System and Humans, Vol. 33, No.4, pp.451-465, 2003.
- [17] J, Slotine., W, Li., "*Applied nonlinear control*", Prentice Hall, The 3<sup>rd</sup> Edition, 1991.